На правах рукописи

Украинцев Александр Андреевич

Роль белков PARP1, PARP2 и PARP3 в регуляции активности ферментов BER на нуклеосоме и в стабилизации её структуры

1.4.9 – биоорганическая химия

Автореферат диссертации на соискание ученой степени кандидата химических наук

Работа выполнена в Федеральном государственном бюджетном учреждении науки Институт химической биологии и фундаментальной медицины СО РАН

Научные руководители:

Лаврик Ольга Ивановна, д.х.н., академик РАН, профессор, Федеральное государственное бюджетное учреждение науки Институт химической биологии и фундаментальной медицины СО РАН.

Кутузов Михаил Михайлович, к.х.н., Федеральное государственное бюджетное учреждение науки Институт химической биологии и фундаментальной медицины СО РАН.

Официальные оппоненты:

Варижук Анна Михайловна, д.х.н., Федеральное государственное бюджетное учреждение «Федеральный научно-клинический центр физико-химической медицины имени академика Ю.М. Лопухина Федерального медико-биологического агентства», г. Москва, зав. лабораторией.

Малыгин Алексей Аркадьевич, д.х.н., Федеральное государственное бюджетное учреждение науки Институт химической биологии и фундаментальной медицины СО РАН, г. Новосибирск, зав. лабораторией.

Шайтан Алексей Константинович, д.ф.-м.н., чл.-корр. РАН, профессор, Федеральное государственное бюджетное образовательное учреждение высшего образования «Московский государственный университет имени М.В. Ломоносова», г. Москва, профессор.

Защита состоится «03» октября 2025 г. в 12:00 на заседании диссертационного совета ИХБФМ.02.01 при Институте химической биологии и фундаментальной медицины СО РАН по адресу: 630090, проспект академика Лаврентьева, 8, Новосибирск

С диссертацией можно ознакомиться в библиотеке Института химической биологии и фундаментальной медицины СО РАН и на сайте www.niboch.nsc.ru

Автореферат разослан «01» сентября 2025 г.

Ученый секретарь диссертационного совета

к.х.н., Пестряков П.Е.

A. The state of th

ОБЩАЯ ХАРАКТЕРИСТИКА РАБОТЫ

Актуальность темы исследования. Благодаря своей ключевой роли в [Gibson репарации ЛНК B.A..etal..20121 поли(АDР-рибоза)полимераза (PARP1 PARP2) 1 И И высокоперспективными мишенями для противоопухолевой терапии [Curtin N.J., et al., 2013]. Ингибиторы PARP (PARPi), такие как олапариб, нирапариб, рукапариб и талазапариб, уже одобрены для клинического применения. Они демонстрируют высокую эффективность прежде всего в терапии опухолей с дефицитом репарации ДНК путем гомологичной рекомбинации, например, в случае мутации генов BRCA1/2 [Fong P.C., et al., 2009]. Эти препараты используются при лечении рака яичников, молочной железы, поджелудочной железы и простаты. Активно ведутся исследования по расширению показаний для PARPi и их комбинациям с другими видами терапии (ДНК-повреждающие агенты, иммунотерапия), а также по повышению селективности их воздействия на различные белки семейства PARP, что может значительно снизить их токсичность и привести к более эффективной терапии различных видов онкозаболеваний. Несмотря на значительный прогресс в понимании роли PARP1 и PARP2 в репарации ДНК и успехи таргетной терапии, остаются неизученными многие аспекты, среди которых можно выделить следующие:

- 1. Функции PARP3 в поддержании геномной стабильности остаются недостаточно изученными. Понимание роли PARP3 в этих процессах необходимо для прогнозирования механизмов резистентности и разработки более селективных ингибиторов.
- 3. Геномная стабильность неразрывно связана с правильной укладкой ДНК в хроматине. Роль ДНК-зависимых белков PARP в организации структуры хроматина изучена лишь частично.

Таким образом, комплексное исследование роли PARP1, PARP2 и PARP3 не только в репарации ДНК, но и в организации и динамике структуры хроматина, является актуальной задачей. Для этого необходимо изучить функционирование ферментов PARP в условиях хроматиновой организации, а также специфические функции PARP3. Это позволит выявить базовые механизмы поддержания целостности генома и разработать селективные

ингибиторы следующего поколения. Такие ингибиторы, нацеленные на конкретные белки семейства PARP (включая PARP3) или их комплексы, потенциально повысят эффективность терапии и снизят ее токсичность.

Данная работа направлена на восполнение этих критических пробелов в знаниях о роли PARP1, PARP2 и PARP3 в поддержании геномной стабильности посредством их взаимодействия с хроматином и влияния на его структуру.

Цель и задачи исследования. Целью данной работы является исследование взаимодействия белков PARP1, PARP2 и PARP3 с интермедиатами различных этапов эксцизионной репарации оснований (BER) в составе нуклеосом, а также влияния этих белков на активность ферментов BER и на структуру нуклеосомы. В ходе работы решались следующие задачи:

- 1. Исследовать влияние белков PARP1 и PARP2 на ферментативную активность участников короткозаплаточного пути BER как при дефиците NAD^+ , так и при его высокой концентрации.
- 2. Определить сродство белков PARP1, PARP2, PARP3 и места их контактов с модельными мононуклеосомными и хроматиноподобными субстратами, выступающими в качестве аналогов природного хроматина.
- 3. Проанализировать воздействие белков PARP1, PARP2 и PARP3 на структуру нуклеосом и более сложных хроматиноподобных структур.

Научная новизна работы. Данное исследование представляет собой первое детальное изучение влияния ферментов PARP1, PARP2 и реакции РАР РАР РАГИЛИРОВАНИЯ НА КАТАЛИТИЧЕСКУЮ АКТИВНОСТЬ КЛЮЧЕВЫХ БЕЛКОВ ЭКСЦИЗИОННОЙ репарации оснований (BER) в контексте нуклеосом. Продемонстрировано, что эффекты воздействия PARP1 и PARP2 на ключевых участников BER, включая условия РАР илирования, качественно аналогичны наблюдаемым реконструированных системах со свободной ДНК, однако количественно изменены в нуклеосоме, являющейся элементарной структурной единицей хроматина. Данное наблюдение позволяет экстраполировать установленные закономерности на более сложные хроматин-организованные системы. Обнаружена способность PARP3 взаимодействовать с АР-сайтами в контексте нуклеосомы (NCP). Впервые в рамках единого исследования проведен комплексный анализ влияния трех ДНК-зависимых регуляторных белков репарации (PARP1, PARP2 и PARP3) на структуру хроматина, в частности на стабильность нуклеосом. Методом атомно-силовой микроскопии (ACM) установлено, что PARP2 взаимодействует с гистоновыми белками, но не индуцирует значимых изменений в структуре хроматина. В то же время выявлена ранее неизвестная функция PARP3 в компактизации хроматина: показано, что PARP3 компактизует и стабилизирует нуклеосомы.

Практическая значимость работы. В современной клинической практике терапии BRCA1/2-ассоциированных злокачественных новообразований активно применяются ингибиторы ферментов PARP1, PARP2 и PARP3. Полученные в настоящей работе результаты подтверждают релевантность данных, накопленных в ходе многолетних исследований на модельных ДНК-дуплексах в отношении механизмов воздействия PARP1 и

PARP2 на ключевые белки системы BER в контексте нуклеосомы. Кроме того, настоящее исследование позволило выявить специфические особенности взаимодействия всех трех белков семейства PARP (PARP1, PARP2 и PARP3) с мононуклеосомой и хроматиноподобными (CLP) структурами. Эти новые данные способствуют более детальному пониманию ключевых ядерных процессов и открывают перспективы для разработки новых терапевтических стратегий, направленных на лечение различных заболеваний, включая онкологические.

Положения, выносимые на защиту.

- 1. PARP1, PARP2 и PARP3 взаимодействуют с разными участками нуклеосом. Эти белки связываются как с NCP, содержащими ДНК без повреждений, так и с NCP, содержащими ДНК-интермедиаты BER.
- 2. PARP1 и PARP2 в нуклеосомном контексте подавляют активность ключевых ферментов BER (APE1, Polβ и LigIIIα), а PARилирование PARP1 и PARP2 регулирует величину эффекта.
- 3. PARP3 стабилизирует и уплотняет структуру NCP, в то время как влияние PARP1 и PARP2 на её структуру незначительно.
- 4. PARP2 преимущественно локализуется на гистоновом октамере NCP в составе хроматиноподобных частиц, а PARP3 обеспечивает поддержание их нуклеосомной организации.

Вклад автора. Представленные экспериментальные данные, за исключением результатов анизотропии флуоресценции, получены самим автором. Автор принимал активное участие в анализе полученных результатов и написании статей. Анализ полученных результатов проводился при участии Кутузова М.М., Белоусовой Е.А. и Лаврик О.И. Автором выделен рекомбинантный белок PARP1, используемый в работе. Автором отработана методика получения высокоочищенных белок-нуклеиновых комплексов для использования в экспериментах методом АСМ. Лично автором получены и обработаны все АСМ-изображения.

Апробация и публикации результатов. По результатам исследования опубликовано 3 экспериментальные статьи и 1 обзор в рецензируемых журналах, индексируемых в базах Web of Science и Scopus. Результаты, изложенные в диссертации, были представлены на конференциях: BGRS/SB-2020 (Новосибирск, 2020), научная конференция с элементами школы молодых ученых «ВіоТор 2020: актуальные вопросы современной биологии» (Новосибирск, 2020), BGRS/SB-2022 (Новосибирск, 2022), III объединенный научный форум физиологов, биохимиков и молекулярных биологов (Сочи, 2022), CSHL Single Biomolecules (New York, 2022), конференция «Физико-химическая энзимология» (Новосибирск, 2023), научная молодежная школаконференция «ВіоТор-2023. Достижения молодых ученых ИХБФМ» (Новосибирск, 2023), всероссийская школа-конференция «Современные вызовы структурной и синтетической биологии» (Шерегеш, 2024), BGRS/SB-2024 (Новосибирск, 2024).

Структура и объем диссертации. Диссертационная работа состоит из Введения, Обзора литературы, Экспериментальной части, Результатов и их

обсуждения, Заключения, Выводов и Списка литературы. Работа (без приложения) изложена на 146 страницах, содержит 55 рисунков и 8 таблиц. Список литературы содержит 286 литературных источников. Приложение на 17 страницах включает 15 рисунков и 7 таблиц.

СОДЕРЖАНИЕ РАБОТЫ

1. Влияние PARP1 и PARP2 на активность ключевых белков-участников процесса BER

1.1. Оценка сродства PARP1 и PARP2 к структурам NCP, содержащим повреждения в ДНК начальных стадий процесса BER

На сегодняшний день основные этапы ВЕR изучены достаточно детально с использованием ДНК-дуплексов, содержащих повреждения, — интермедиатов ВЕR. Большой интерес представляет исследование процесса ВЕR в контексте хроматина, базовой структурной единицей которого является нуклеосома (NCP). В литературе представлено множество данных, характеризующих эффективность отдельных этапов ВЕR в контексте NCP, но роль ядерных PARP и их активность в этом процессе остаются малоизученными [Киtuzov М.М., et al., 2020]. Известно, что PARP1 и PARP2 принимают участие в регуляции системы ВЕR. В первую очередь предполагалось изучить их роль в этом процессе с использованием модельных NCP.

Нуклеотиды в NCP неэквивалентны друг другу ввиду взаимодействия части ДНК в NCP с гистонами. Общепринятой считается следующая классификация нуклеотидов ДНК в NCP: «out» — нуклеотид обращен сахарофосфатным остовом к растворителю; «in» — нуклеотид обращен сахарофосфатным остовом к гистонам; «middle» — занимает промежуточное положение между «in» и «out». Репарация в позиции «in» существенно затруднена [Hinz J.M., et al., 2010]. Мы использовали NCP с азотистым основанием урацилом (dU) на месте «out»- и «middle»-ориентированных нуклеотидов (**Puc. 1 A**). В нашем случае dU необходим для ферментативного получения ДНК-интермедиатов ВЕR как в составе свободных ДНК-дуплексов, так и в составе NCP (**Puc. 1 Б**).

РАRP1 и PARP2 способны распознавать интермедиаты BER [Sukhanova M.V., et al., 2016; Sukhanova M.V., et al., 2019]. Методом анизотропии флуоресценции мы оценили сродство этих двух белков к интермедиатам начальных стадий процесса BER (Таблица 1). Согласно полученным величинам К_D, PARP1 и PARP2 проявляют повышенное сродство к NCP из-за белок-белковых взаимодействий с гистонами. PARP1 демонстрирует высокое сродство как к NCP603_U, так и к свободной ДНК с минимальной разницей в аффинности между ними. Такой результат можно объяснить особенностью используемой в работе конструкции ДНК. В двух случаях («out» и «middle») повреждения расположены близко к тупому концу ДНК, аналогу двуцепочечного разрыва (DSB), что, с учетом размера белков, позволяет рассматривать нашу конструкцию как аналог кластерного повреждения. Метод анизотропии флуоресценции регистрирует изменения вращательной диффузии

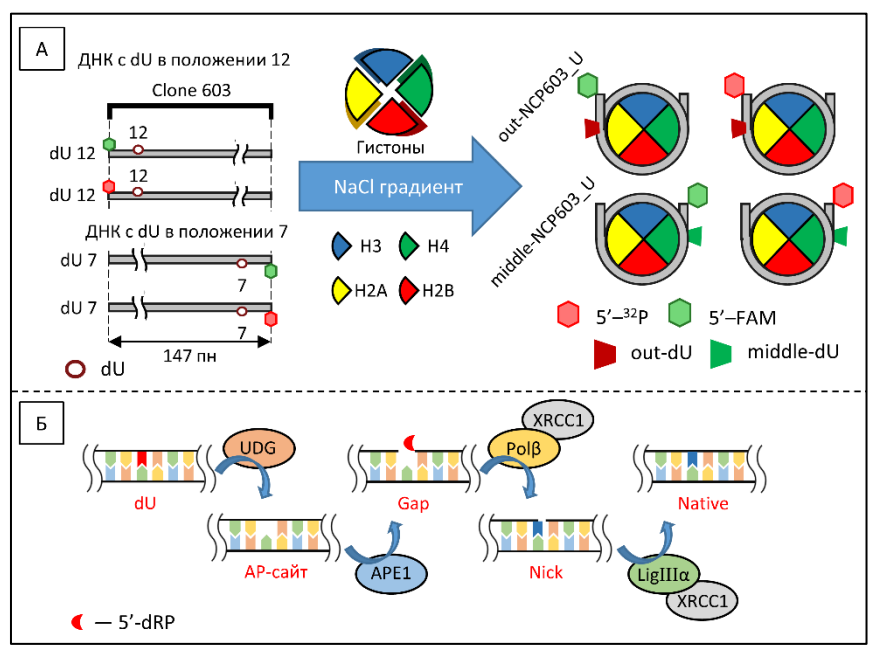


Рис. 1. А — Схематичное изображение процесса реконструирования нуклеосом NCP603_U. Изображены используемые в работе ДНК на основе нуклеосом-позиционирующей последовательности (NPS) «Clone 603» и нуклеосомы «NCP603_U», содержащие dU в положении 12 и 7. Положение 12 в нуклеосоме соответствует «оut»-ориентированному нуклеотиду; положение 7 — «middle»-ориентированному нуклеотиду. Условное расположение нуклеотидов в нуклеосоме обозначено трапециями красного и зеленого цвета для «out»- и «middle»-ориентации соответственно. **Б** — Упрощенная схема короткозаплаточного процесса BER с основными белками-участниками.

молекул флуорофора, возникающие при образовании комплексов, причем основной вклад в сигнал вносят молекулы белка, находящиеся в непосредственной близости от флуоресцентной метки. Поскольку в нашем случае флуоресцентная метка находится непосредственно на 5'-конце ДНК, а PARP1 связывает тупые концы ДНК [Sukhanova M.V., et al., 2016], то вклад такого взаимодействия оказался выше, чем от потенциального взаимодействия PARP1 с другими сайтами связывания.

Таблица 1. Величины констант диссоциации комплексов PARP1 и PARP2 с ДНК и NCP, детектированные в канале FAM (К_D, нМ).

Структура	ДНК		NCP603_U		
	PARP1	PARP2	PARP1	PARP2	
Native-out	14 ± 3	840 ± 90	14 ± 2	160 ± 10	
AP-out	23 ± 3	810 ± 80	7 ± 3	160 ± 10	
Gap-out	29 ± 5	58 ± 6	10 ± 2	14 ± 2	
Native-middle	14 ± 3	600 ± 50	11 ± 1	150 ± 10	
AP-middle	23 ± 3	690 ± 70	12 ± 1	160 ± 10	
Gap-middle	25 ± 3	140 ± 10	14 ± 1	128 ± 7	

Значения K_D измерены регистрацией анизотропии флуоресценции FAM и представлены как среднее значение (\pm SD) для трех независимых экспериментов.

В присутствии PARP2 наблюдается выраженное увеличение анизотропии для структур, содержащих Gap, что свидетельствует о специфическом распознавании данного типа повреждений (**Таблица 1**). Аффинность PARP2 к данному типу повреждений не зависит от близости к тупому концу в NCP [Kurgina T.A., et al., 2022]. Следует отметить, что в NCP603_U сродство PARP2 к «оит»-ориентированному Gap на порядок выше, чем к «middle»-ориентированному, что говорит о важном значении ориентации повреждения в нуклеосоме для взаимодействия с белком PARP2.

1.2. Анализ влияния нуклеосомной организации на активность белков PARP1 и PARP2 в ответ на повреждения ДНК

Эффективность активации PARP и их сродство к ДНК не всегда коррелируют между собой [Sukhanova M.V., et al., 2019]. Существенный вклад в активность белка вносит эффект кооперативного взаимодействия доменов белка при связывании с ДНК [Riccio A.A., et al., 2016; Thomas C., et al., 2019]. Мы определили активность ферментов PARP в присутствии ДНК и NCP. Эффективность активации PARP1 и PARP2 изучалась в присутствии свободной ДНК, или NCP603_U, а также структур, возникающих в процессе репарации «dU» (AP-сайт, Gap, Puc. 1 Б), с использованием [32P]-NAD+ по включению радиоактивной метки в растущую полимерную цепь PAR (Puc. 2).

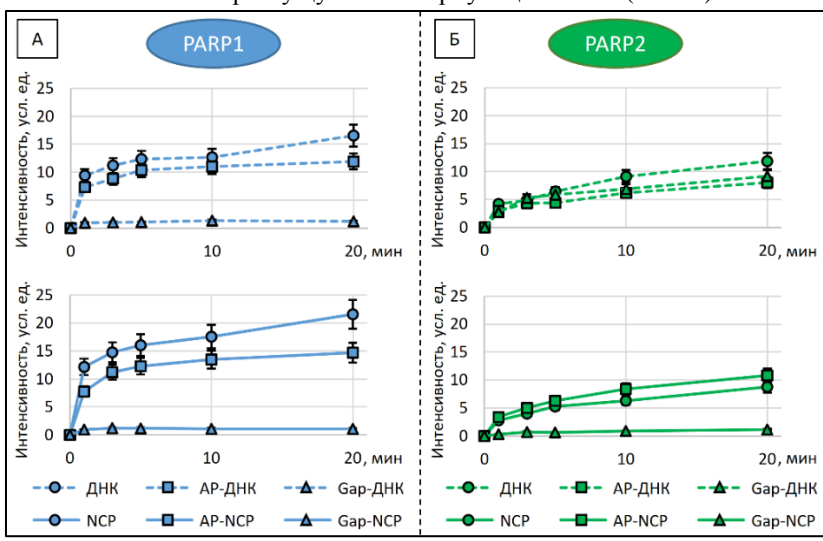


Рис. 2. Активация PARP1 и PARP2 на ДНК и NCP, включая интермедиаты ВЕR в положении «оut» (Рис. 1). А — Кинетические кривые синтеза поли(ADP-рибозы) ферментом PARP1. Б — Кинетические кривые синтеза поли(ADP-рибозы) ферментом PARP2. Каждая точка на графиках отражает среднее значение синтезированного продукта (± SD) для трех независимых экспериментов. Реакционная смесь содержала 50 нМ PARP1 или 100 нМ PARP2; 50 нМ dU, AP- или Gap-ДНК или NCP603_U в буфере состава: 10 мМ Tris-HCl, pH = 7,5; 0,1 % NP-40; 0,2 мМ EDTA; 5 мМ β-ME; 10 мМ NaCl; 5 мМ MgCl₂. Реакцию запускали добавлением 400 мкМ NAD* содержащим 1 мкМ [³²P]-NAD*. Реакцию проводили при 37 °C в течение 0, 1, 3, 5, 10 и 20 мин и останавливали, помещая аликвоты реакционной смеси на бумажные фильтры (Whatman-1), пропитанные 5 % ТХУ. Фильтры четыре раза промывали 5 % ТХУ, затем 90 % этанолом и высушивали. Продукт реакции детектировали радиолюминесцентным сканированием экрана Image Screen K («Kodak», США) на длине волны 635 нм. Полученные данные анализировали с использованием программы «Quantity One» («Віо-Rad», США).

Выход продукта реакции PARилирования белком PARP1 был выше при активации на NCP603 U в отсутствие повреждения, то есть активация PARP1 преимущественно обусловлена её взаимодействием с тупыми концами ДНК (Рис. 2 А). Наличие внутреннего повреждения ДНК в случае близкого расположения к тупым концам, в особенности Gap, снижало общий уровень синтеза РАР, катализируемого РАРР1, независимо от нуклеосомной упаковки ДНК. Это снижение, вероятно, связано со специфическими конформационными изменениями PARP1 при связывании с поврежденной ДНК и NAD+ [Rudolph J., конкуренцией PARP1 2020] или за связывание близкорасположенными типами повреждений. Активация PARP2 на NCP603 U в целом сопоставима с активацией на свободной ДНК, кроме случая Gap-NCP603 U. Только в нуклеосомном контексте Gap вызывает значительное снижение общего синтеза PAR, катализируемого PARP2, в отличие от свободного ДНК-дуплекса (Рис. 2 Б). Это указывает на чувствительность активации PARP2 к повреждению типа Gap именно в условиях нуклеосомной упаковки. Вероятно, в случае нуклеосомной организации функция PARP2 заключается не в авто-РАРилировании белка PARP2 в составе комплекса PARP2•Gap-NCP603 U. Эта гипотеза подтверждается опубликованной в нашей лаборатории после этого исследования, в которой белок PARP2 изучался в комплексе с HPF1 и в этом случае была продемонстрирована преимущественная трансмодификация гистонов белком PARP2 вблизи Gap-повреждения [Kurgina T.A., et al., 2022; Kurgina T.A., et al., 2025]. Данные для «middle»-ориентированного нуклеотида согласуются с результатами для «out»-ориентированного нуклеотида и не приведены.

1.3. Влияние PARP1 и PARP2 на активность фермента APE1

АРЕ1 — основной фермент, расщепляющий АР-сайты ДНК у высших эукариот в процессе их репарации. Её активность сильно зависит от оснований, АР-сайт, вторичной структуры окружающих и от ДНК-субстрата [Whitaker A.M., et al., 2018; Hoitsma N.M., et al., 2020]. В случае NCP ориентация АР-сайта по отношению к гистоновому ядру важна для реализации активности APE1 [Hinz J.M., et al., 2014]. Для PARP1 продемонстрировано выраженное подавление активности АРЕ1 на обоих типах кофакторов (Рис. 3). В условиях PARилирования PARP1 активность APE1 восстанавливалась независимо от ориентации повреждения. Стоит отметить, что результаты согласуются с данными, полученными для свободной ДНК [Khodyreva S.N., et al., 2010]. Наблюдаемые эффекты можно объяснить конкуренцией PARP1 и APE1 за связывание с AP-сайтом [Khodyreva S.N., et al., 2010]. PAR, ковалентно присоединенный к PARP1, способствует диссоциации PARP1 из комплекса с ДНК за счет электростатического отталкивания, освобождая АР-сайт для доступа APE1. PARP2 не оказывала существенного влияния на расщепление AP-сайта APE1 ни в отсутствие, ни в присутствии NAD+ (Рис. 3). Такой эффект можно объяснить низким сродством PARP2 к ДНК, содержащей AP-сайты (**Таблица 1**), а также низким уровнем PARилирования PARP2 [Sukhanova M.V., et al., 2019]. Следует отметить, что закономерности влияния PARP1, PARP2 и

РАКилирования на активность APE1 на AP-ДНК были схожи с закономерностями на AP-NCP603_U, хотя эффекты на AP-ДНК были выражены сильнее (**Puc. 3**). Такой результат можно объяснить повышенным сродством белков PARP1 и PARP2 к NCP.

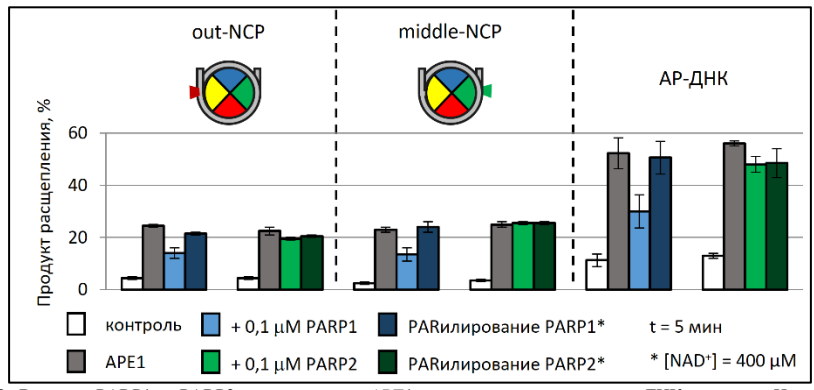


Рис. 3. Влияние PARP1 и PARP2 на активность APE1 в присутствии различных ДНК-структур. На рисунке приведены средние значения уровня расщепления AP-сайта (± SD) для трех независимых экспериментов. Реакционные смеси во всех случаях содержали буфер состава: 10 мМ Tris-HCl, pH = 7,5; 0,1 % NP-40; 0,2 мМ EDTA; 5 мМ β-ME; 10 мМ NaCl; 5 мМ MgCl₂. Дополнительно реакционные смеси содержали: белый бар — 100 нМ AP-сайт содержащий субстрат; серый бар — 100 нМ AP-сайт содержащий субстрат и 0,03 мкМ APE1 для out-NCP / 1 мкЛ APE1 для дНК; синий и зеленый бары содержали компоненты серого бара и дополнительно 100 нМ PARP1 или PARP2; темные синий и зеленый бары содержали компоненты из синего и зеленого соответственно, а также 400 мкМ NAD⁺. Реакционные смеси инкубировали в течение 5 мин при 37 °C.

1.4. Влияние PARP1 и PARP2 на активность фермента Polβ

Мы оценили способность РоІв встраивать dNMP в структуре Gap-NCP603 U (**Puc. 4 A, Б**). В системе BER белок Polβ образует наиболее стабильный комплекс с XRCC1. В нашей работе исследована способность Polβ осуществлять включение dNMP как в отсутствие, так и в присутствии XRCC1, а также влияние PARP1, PARP2 и PARилирования на эту активность. PARP1 влияла на активность РоІВ, приводя к почти полному подавлению синтеза ДНК (**Рис. 4 A**). РАКилирование PARP1 ослабляло этот эффект, но не восстанавливало исходную активность Роїв (Рис. 4 Б). Наблюдаемое подавление активности Ро1β PARP1 и последующее частичное восстановление активности при РАКилировании объясняется несколькими взаимосвязанными механизмами. Связывание PARP1 с нуклеосомой может вызывать локальную декомпактизацию ДНК, потенциально увеличивая доступность поврежденного участка для Роїв [Sultanov D.C., et al., 2017], а также эффективность Роїв возрастает при локализации повреждений вблизи тупых концов ДНК [Moor N.A., et al., 2020]. Одновременно возникает конкуренция между Роlβ и PARP1 за связывание с ДНК в области повреждения, особенно вблизи тупых концов. Уменьшение влияния со стороны PARP1 на активность Polß в условиях отталкиванием РАКилированного PARP1 с последующей диссоциацией PARP1•ДНК, освобождает сайт-связывания что [Sukhanova M., et al., 2010]. XRCC1 умеренно снижал негативное влияние

РАRР1 на Роlβ, особенно для out-Gap-NCP603_U (**Puc. 4 A, Б**). РАRР2 также подавляла активность Polβ для обоих типов повреждений (**Puc. 4 A, Б**). РАRилирование PARP2 не оказывало влияния на эффект подавления активности Polβ, особенно для out-Gap-NCP603_U (**Puc. 4 Б**). XRCC1 восстанавливал активность Polβ в присутствии PARP2 для двух типов повреждений. Для нашей модельной системы в контексте данного этапа BER механизм действия PARP2 связан с преимущественным взаимодействием с самим разрывом Gap или гистонами в области повреждения, а не с тупыми концами. Недостаточный уровень синтеза PAR не обеспечивает диссоциацию комплекса PARP2 с NCP, что препятствует работе Polβ. XRCC1, формируя комплекс с Polβ, эффективно конкурирует с PARP2 за сайт повреждения, что способствует устранению негативного влияния на активность Polβ со стороны PARP2.

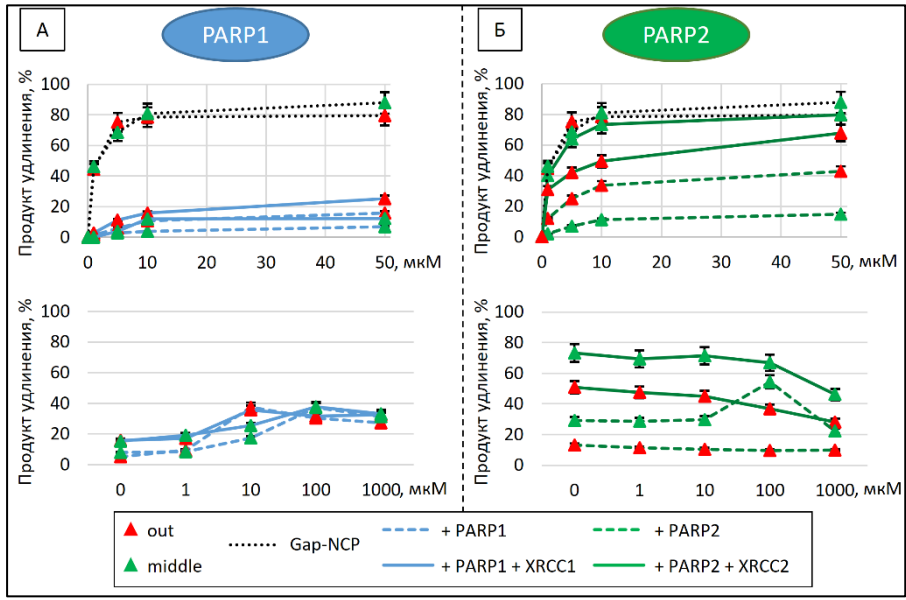


Рис. 4. Влияние PARP1 (A) и PARP2 (Б) на активность Роlβ в Gap-NCP: верхний график — в отсутствие NAD⁺; нижний график — в присутствии NAD⁺. На рисунке приведены средние значения уровня удлинения (± SD) для трех независимых экспериментов. Реакционные смеси во всех случаях содержали: 100 нМ Gap-NCP; 2,5 нМ или 50 нМ Роlβ (для «оut»- или «middle»-ориентации соответственно); 50 мкМ dTTP (для нижнего графика). В соответствии с легендой пробы содержали: 50 нМ PARP1 или PARP2; 4 нМ или 50 нМ XRCC1 (для «оut»- или «middle»-ориентации соответственно); буфер состава: 10 мМ Tris-HCl, pH = 7,5; 0,1 % NP-40; 0,2 мМ EDTA; 5 мМ β-ME; 10 мМ NaCl; 5 мМ MgCl₂. По оси У указана концентрация: верхний график — [dTTP]; нижний график — [NAD⁺]. Реакционные смеси инкубировали в течение 3 мин при 37 °С.

1.5. Влияние PARP1 и PARP2 на активность фермента LigIIIa

Заключительный этап BER — лигирование одноцепочечного разрыва ДНК-лигазой IIIα (LigIIIα) в комплексе с XRCC1. В литературе показано формирование специфического комплекса между LigIIIα и XRCC1 [Caldecott K.W., et al., 1994; Mortusewicz O., et al., 2006]. Наши эксперименты были выполнены на структуре с «out»-ориентированным повреждением.

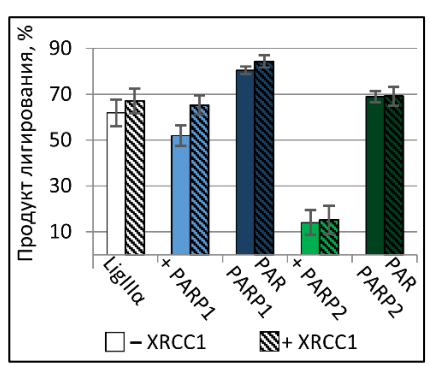


Рис. 5. Влияние PARP1 и PARP2 на активность LigIIIα в присутствии NCP с Nick-повреждением. На рисунке приведены средние значения уровня лигирования (± SD) для трех независимых экспериментов. Реакционные смеси содержали 20 нМ 5¹-[³²P]-меченый субстрата NCP603_U и 1 мМ АТР в буфере 100 мМ NaCl; 50 мМ Ттіз-НСl, pH = 8,0; 5 мМ DTT; 10 мМ MgCl₂. Пробы инкубировали в течение 30 мин при 37 °C со смесями 0,5 мкМ LigIIIα и 100 мкМ NAD¹+; 0,5 мкМ LigIIIα и 0,1 мкМ PARP1 или PARP2; или LigIIIα, 100 мкМ NAD¹+ и 0,1 мкМ PARP1 или PARP2. Все реакционные смеси готовили в отсутствие или в присутствии эквимолярной концентрации XRCC1 по отношению к LigIIIα и LigIIIα и XCC1 по отношению к LigIIIα и LigIIIα и Киристевии уквимолярной концентрации XRCC1 по отношению к LigIIIα.

Исследование влияния PARP1 PARP2 на активность LigIIIα показало, что оба белка оказывают подавляющее действие на лигазную активность LigIIIa (Рис. 5). Однако РАРилирование ослабляло Присутствие эффект. ключевого партнера LigIIIa, белка XRCC1, не оказывало выраженного влияния на базовую активность LigIIIa. Это, вероятно, связано с расположением разрыва в области NCP, где возможна диссоциация концевых участков ДНК из нуклеосомного комплекса [Chereji R.V., et al., 2015; Cannan W.J., al., 2017]. XRCC1 умеренно ослаблял подавляющее действие PARP1, что согласуется с известной способностью XRCC1 снижать активность PARP1 [Masson M., et al., *1998*]. Механизм подавления активности LigIIIα со стороны PARP1

включает конкуренцию с LigIIIa за связывание вблизи тупых концов ДНК (сайтов входа-выхода). В случае PARP2 такой результат обусловлен прямым связыванием с самим одноцепочечным разрывом, что блокирует доступ LigIIIa к месту повреждения. Наблюдаемое восстановление активности LigIIIα при РАР РАР РАГИЛИРОВ РАГИЛИРО процессами. С одной стороны, эффект от влияния РАКилирования объясняется диссоциацией PARP1 и PARP2 из комплекса PARP•ДНК в результате PAR. электростатического отталкивания полимера ковалентно присоединенного к PARP, от ДНК. С другой стороны, как показали исследования, PAR служит сигналом для привлечения XRCC1•LigIIIа к месту разрыва [Leppard J.B., et al., 2003; Hanzlikova H., et al., 2018]. Таким образом, умеренный уровень PAR, синтезируемый PARP2, стимулирует формирование активного репарационного комплекса в месте повреждения ДНК в составе NCP.

2. Изучение локализации ДНК-зависимых белков PARP (PARP1, PARP2 и PARP3) в комплексе с NCP

2.1. Определение величин K_D комплекса PARP3•NCP

РАRP3 наряду с PARP1 и PARP2 является ДНК-зависимым ферментом и активируется в ответ на повреждения ДНК. К настоящему времени PARP3 среди ДНК–зависимых PARP является наименее охарактеризованной. Систематического исследования её роли в репарации ДНК, в частности в BER, не проводилось. Методом EMSA мы определили значения K_D комплексов

PARP1, PARP2 и PARP3 с ДНК и NCP603 U, повреждение находилось в положении «out» (Таблица 2). Полученные методом EMSA результаты для PARP1 и PARP2 согласуются с данными, полученными методом анизотропии флуоресценции (Таблица 1). При этом метод EMSA позволил уточнить характер взаимодействия PARP1 и PARP2 с NCP: оба белка взаимодействуют с гистонами; PARP1 распознает Gap-повреждение в составе NCP. Для PARP3 наблюдается следующая зависимость его эффективности во взаимодействии с исследуемыми структурами: Gap \ll Native \approx AP-сайт (**Таблица 2**). В работах [Langelier M.F., et al., 2014; Grundy G.J., et al., 2016] было установлено, что PARP3 взаимодействует и активируется ДНК с одноцепочечным разрывом, содержащим 5'-концевую фосфатную группу. В нашем случае PARP3 взаимодействует с использованным в работе Gap-повреждением менее эффективно, чем с нативной и АР-содержащей ДНК. Такой результат можно объяснить структурой используемого в работе ДНК-дуплекса с одноцепочечной брешью (Gap c 5'-dRP-фрагментом: Puc. 1 Б). Такое повреждение, по-видимому. не является каноническим для PARP3. При этом значительная разница в значениях K_D между PARP2 и PARP3 В случае использованного Gар-повреждения может свидетельствовать о различиях в механизмах их взаимодействия с ДНК-дуплексами, содержащими повреждения.

Таблица 2. Величины констант диссоциации комплексов PARP1, PARP2 и PARP3 с ЛНК и NCP, полученные методом EMSA (Кр. нМ).

A									
Структура	ДНК			NCP603_U					
	PARP1	PARP2	PARP3	PARP1	PARP2	PARP3			
Native-out	113 ± 5	300 ± 100	461 ± 9	52 ± 8	190 ± 20	287 ± 5			
AP-out	92 ± 3	330 ± 80	426 ± 8	65 ± 3	130 ± 4	250 ± 30			
Gap-out	48 ± 3	240 ± 80	750 ± 20	38 ± 3	57 ± 8	4400 ± 300			

Значения K_D были определены из данных по связыванию трех белков PARP с [32 P]-меченой ДНК как в свободной форме, так и в составе NCP методом задержки в геле и соответствуют концентрации белка, при которой 50 % молекул ДНК или NCP находится в комплексе. Значения K_D представлены как среднее значение (\pm SD) для трех независимых экспериментов. Обозначение «out» указывает на ориентацию повреждения в структуре NCP согласно **Puc. 1**.

2.2. Определение мест контакта ДНК-зависимых белков PARP с NCP

2.2.1. Метод боргидридной сшивки и ферментативного футпринтинга

В ходе ВЕК после удаления поврежденного азотистого основания образуется ДНК-интермедиат, содержащий АР-сайт. Известно, что PARP1 и PARP2 взаимодействуют с АР-сайтами и могут участвовать в их расщеплении в составе ДНК-дуплексов по лиазному механизму [Khodyreva S.N., et al., 2010; Кииго М.М., et al., 2015]. Для PARP3 такие данные отсутствуют. Мы оценили способность трех белков PARP взаимодействовать с АР-сайтом в NCP. Для этого мы воспользовались свойством альдегидных групп АР-сайтов формировать основания Шиффа с первичными аминогруппами белка в случае их близкого расположения [Khodyreva S.N., et al., 2011] (Рис. 6 А). Основания Шиффа восстанавливали боргидридом натрия, NaBH4. Из-за возможного взаимодействия белков с разными участками ДНК в NCP, мы дополнительно

сконструировали ДНК, содержащие множество АР-сайтов (Рис. 6 Б), чтобы зарегистрировать такие взаимодействия.

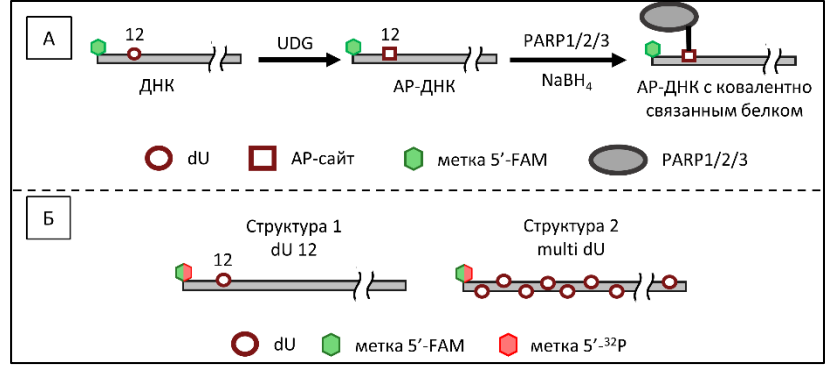


Рис. 6. А — Схематичное изображение метода боргидридной сшивки, использованного в работе. **Б** — Схематичное изображение структур ДНК, использованных в методах боргидридной сшивки и ферментативного футпринтинга.

Мы получили автографы гелей после разделения продуктов реакции боргидридной сшивки как для структуры, содержащей АР-сайт в «оиt»-ориентации 12-ом положении, так и для структуры, содержащей множество АР-сайтов (Рис. 7). Чтобы локализовать удаленность АР-сайта, который обеспечивает сшивку с белками PARP, от меченого 5'-конца, пробы дополнительно подвергли обработке ферментом DNase I в условиях частичного гидролиза. Все ДНК-зависимые PARP взаимодействуют с АР-сайтами

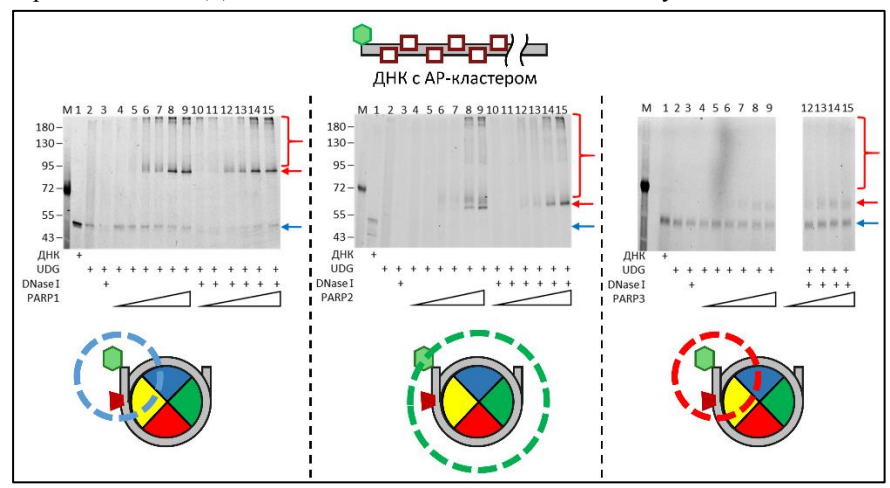


Рис. 7. Взаимодействие белков PARP1, PARP2 и PARP3 с AP-кластером в составе NCP. Автографы гелей после разделения продуктов реакции в 10 % ПААГ по Лэммли. Реакционные смеси содержали 0,2 мкМ NCP и 0,005, 0,01, 0,05, 0,1, 0,5, 1 мкМ PARP1, PARP2 или PARP3 в буфере состава: 10 мМ Tris-HCl, pH = 7,5; 0,1 % NP-40; 0,2 мМ EDTA; 5 мМ β-ME4 10 мМ NаСl. Пробы инкубировали при 37 °С в течение 20 мин. Далее к смеси добавляли NаВН4 до конечной концентрации 20 мМ и инкубировали во льду в течение 30 мин. После чего к смеси добавляли 1 е.а. DNase I и инкубировали при 37 °С в течение 15 мин. Синей стрелкой обозначена электрофоретическая подвижность нерасщепленной цепи ДНК с АР-кластером, красной стрелкой и фигурной скобкой — белок-нуклеиновые адлукты. Под автографами гелей схематично приведены структуры нуклеосом с обозначением локализации соответствующих РАRP пунктирной линией: РАRP1 — синяя; РАRP2 — зеленая; РАRP3 — красная.

составе NCP. Результаты показали, что PARP1 преимущественно взаимодействует с АР-сайтами вблизи тупого конца ДНК, что говорит о её локализации в области входа-выхода в NCP (Рис. 7). Для PARP2 наблюдается увеличение доли продуктов реакции боргидридной сшивки при переходе от NCP603 U к NCP603 multiU. Такой эффект взаимодействием PARP2 с разными участками NCP (Рис. 7). Для PARP3 показано, что интенсивность сшивки между PARP3 и NCP возрастает при переходе от NCP603 U к NCP603 multiU. При этом не наблюдается формирования продуктов с низкой электрофоретической подвижностью. Такой эффект можно объяснить локализацией белка PARP3 в области входа-выхода NCP (Рис. 7). Дополнительно эти результаты были подтверждены при помощи метода ферментативного футпринтинга (данные не приведены).

2.2.2. Метод атомно-силовой микроскопии

Мы изучили взаимодействие белков PARP1, PARP2 и PARP3 с нуклеосомой как базовой структурной единицей хроматина при помощи атомно-силовой микроскопии (АСМ) (Рис. 8). Особенность этого подхода заключается в отсутствие необходимости разрушать комплекс для его изучения и вносить специфические метки в структуру комплекса. Используя АСМ можно изучать геометрические параметры биологических молекул и их комплексов в контексте одной молекулы в её нативной форме, не дополнительными модификациями. В качестве модели мы использовали структуру L-NCP603 на основе NPS «Clone 603» с линкерными участками 120 и 79 пн (Рис. 8 А). При анализе полученных изображений для дальнейшей характеризации выбирали только нуклеосомы, связанные с белками PARP. В соответствии с расположением белков РАРР на L-NCP603 комплексы разделяли на две категории: 1) PARP располагается близко к ядру (**Рис. 8 Б**); 2) PARP располагается на линкерной ДНК (**Рис. 8 В**). Мы обнаружили, что каждая из трех PARP связывается вблизи ядра нуклеосомы: в 76,5 % комплексов для PARP1, в 74,0 % комплексов для PARP2 и в 79,0 % комплексов для PARP3 (Рис. 8 Г).

РАRP1 действительно способен локализоваться на линкерной ДНК. Наши результаты согласуются с ранее опубликованными данными: PARP1 проявляет повышенное сродство к модельным нуклеосомным субстратам при удлинении линкерной ДНК [Clark N.J., et al., 2012]; PARP1 взаимодействует с нуклеосомой в области входа-выхода линкерной ДНК через домены цинковых пальцев и BRCT [Rudolph J., et al., 2021]. Детальный механизм взаимодействия белков PARP2 и PARP3 с линкерной ДНК нуклеосомы неизвестен, т.к. PARP2 и PARP3 не содержат известных ДНК-связывающих доменов, таких как цинковые пальцы и BRCT. Можно предположить, что в этом процессе играет роль домен WGR. В целом взаимодействие белков PARP с нуклеосомой, вероятно, способно оказывать влияние на структуру нуклеосомного комплекса.

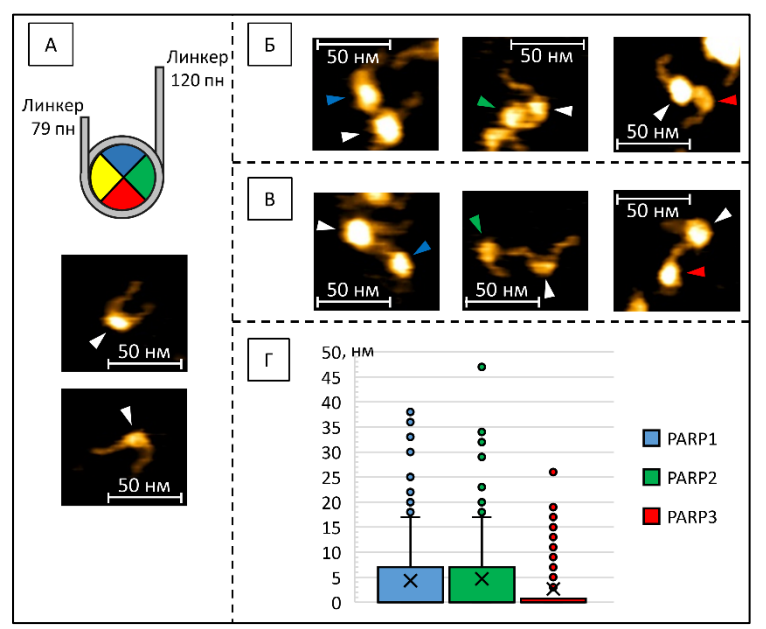


Рис. 8. Изучение локализации белков PARP1, PARP2 и PARP3 на нуклеосоме. А — Схематичное изображение структуры нуклеосомы L-NCP603, содержащей в составе NCP «Clone603» с ДНК-линкерами длиной 79 и 120 пн. Приведены снимки АСМ исследуемых молекул. Белой стрелкой указано ядро L-NCP603 (Z = 4 нм). Б — Локализация ДНК-зависимых РАRP вблизи ядра NCP (Z = 4 нм). В — Локализация ДНК-зависимых РАRP вблизи ядра NCP (Z = 4 нм). В — Локализация ДНК-зависимых РАRP на линкерной ДНК (Z = 4 нм). Белой стрелкой указано ядро L-NCP603, синей — PARP1, зеленой — PARP2, красной — PARP3 (Б, В). Г — Блочная диаграмма с ограничителями выбросов распределения расстояний (нм) белков PARP1, PARP2 и PARP3 относительно ядра нуклеосомы. Крестик — среднее арифметическое по выборке; линия выше или ниже крестика — медиана (находится в нуле); нижняя и верхняя грань ящика — первый и третий квартиль значений; расстояние между границами — межквартильный размах; верхняя и нижняя граница «усов» — максимальное и минимальное значение в выборке; точки — выбросы. Метод Краскела-Уоллиса с пост-тестом Манна-Уитни (поправка Бонферрони) показал отсутствие статистически значимых различий между группами (р-value > 0,05). Число проанализированных молекул в выборке для каждой группы составляло № 200.

3. Изучение структурных изменений NCP, вызванных ДНК-зависимыми белками PARP, методом ACM

Одним из параметров, отражающих степень компактизации ДНК в составе нуклеосомы, является угол раскрытия а между линкерными ДНК [Stumme-Diers M.P., et al., 2018; Konrad S.F., et al., 2022] (**Puc. 9 A**). Мы определили соответствующий угол для ранее выявленных комплексов PARP•L-NCP603. Нуклеосомы без добавления какого-либо PARP использовали в качестве контроля. Средний угол между плечами ДНК в контрольных L-NCP603 составил 120°±5° (**Puc. 9 Б**). Наш результат согласуется с ранее опубликованными данными другой исследовательской группы [Konrad S.F., et al., 2022].

Связывание PARP1 с L-NCP603 вызвало незначительное сужение распределения угла раскрытия α без существенного влияния на уплотнение нуклеосомы (115°±4°) (**Рис. 9 Б**). Разница в измеренных значениях угла в нуклеосоме в присутствии и в отсутствие PARP1 не была существенной

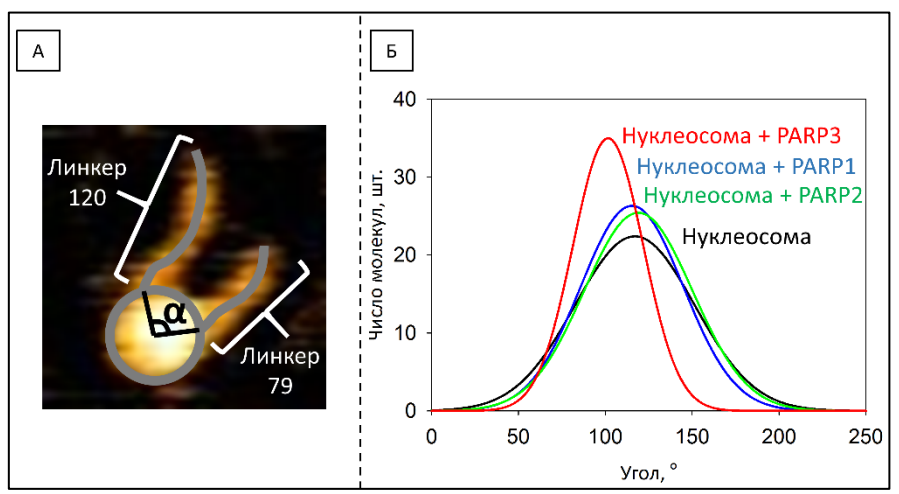


Рис. 9. А — обозначение угла α (черным) между точками входа-выхода в исследуемой молекуле L-NCP603. Серым кругом обозначены границы ядра NCP. Серыми линиями обозначены контуры линкерных ДНК. \mathbf{b} — Гауссова интерполяция распределения значений угла α . Число проанализированных молекул в выборке для каждой группы составляло $\mathbf{N}=200$.

(p-value > 0,05). В нашем случае оказалось, что в присутствии PARP1 ширина Гауссова пика на полувысоте уменьшилась на 30 % по сравнению с контрольным препаратом. Это свидетельствует о стабилизации комплекса NCP. Как упоминалось выше, PARP1 может связывать нуклеосому вблизи сайта входа-выхода. По результатам ACM можно утверждать о способности PARP1 взаимодействовать с каждой линкерной ДНК вблизи входа-выхода. Это взаимодействие может влиять на структурное функционирование хроматина аналогично линкерному гистону Н1. Присутствие Н1 сужает распределение по углу раскрытия, что означает стабилизацию нуклеосомы, и не изменяет степень уплотнения (среднее значение угла α) [Würtz M., et al., 2019]. Кроме того, гистону H1. PARP1 проявляет хроматин-конденсирующую активность, которая нивелируется в результате авто-РАКилирования этого фермента [Wacker D.A., et al., 2007]. Этот эффект, вероятно, обусловлен образованием петли, вызванной контактами PARP1-PARP1 [Bell N.A., et al., 2021].

Несмотря на то, что аффинность PARP2 к нуклеосоме превышает таковую к свободной ДНК в \sim 7 раз (**Таблица 1**), PARP2, подобно PARP1, не оказывала существенного влияния на степень компактизации нуклеосомы L-NCP603. В нашем случае ни распределение значений угла раскрытия, ни степень уплотнения L-NCP603 не изменялись в присутствии PARP2 ($121^{\circ}\pm4^{\circ}$) (**Рис. 9 Б**). Принимая во внимание стандартное отклонение, разница в измеренных значениях угла в нуклеосоме в присутствии и в отсутствие PARP2 не была существенной (p-value > 0,05).

Между тем, PARP3 оказывала особое влияние на уплотнение ядра нуклеосомы L-NCP603. Мы наблюдали повышенную степень уплотнения нуклеосомы в присутствии PARP3 ($104^{\circ}\pm4^{\circ}$) (**Рис. 9 Б**). Принимая во внимание

стандартное отклонение, разница в измеренных значениях угла в нуклеосоме в присутствии и в отсутствие PARP3 была статистически значимой (p-value < 0,001). Более того, присутствие PARP3 индуцировало сужение распределения углов раскрытия. Белок PARP3 широко распространен в ядре как часть белковых комплексов группы Polycomb [Rouleau M., et al. 2007]. Белки группы Polycomb играют ключевую роль в подавлении гомеозисных генов во время клеточной дифференцировки, переводя их в репрессированное состояние, характерное для факультативного гетерохроматина. Таким образом, влияние PARP3 на уплотнение L-NCP603 может быть необходимо для регулирования доступа других белков к неповрежденной ДНК посредством регуляции уплотнения ДНК.

4. Изучение влияния PARP1, PARP2 и PARP3 на хроматиноподобные структуры методом ACM

На первом этапе для однозначной интерпретации результатов методом АСМ мы получили хроматиноподобные частицы (СLР), в которых присутствовал кластер из восьми NPS «Clone 601», CLP601-8 (**Puc. 10 A**). Анализ полученного препарата CLP601-8 с помощью АСМ выявил его гетерогенность со средним значением 8 NCP на одну молекулу ДНК (**Puc. 10 Б**). Эти данные согласуются с результатами работы [*Rogge R.A.*, et al., 2013].

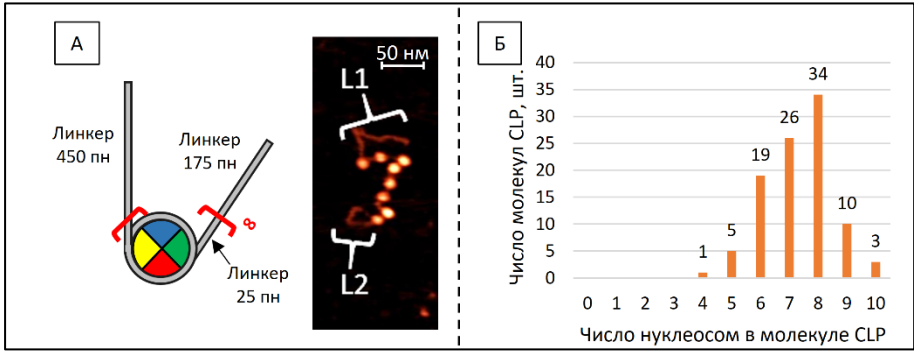


Рис. 10. Реконструированный препарат хроматиноподобных частиц — CLP601-8. А — Схематичное изображение структуры CLP601-8. Структура состоит из 8 NCP «Clone 601», соединенных между собой ДНК-линкерами длиной 25 пн (красные скобки; цифра означает число повторений). По краям полинуклеосомной структуры присутствуют ДНК-линкеры длиной 450 и 200 пн. Приведено типичное изображение АСМ исследуемой молекулы (Z = 4 нм). Белыми фигурными скобками обозначены ДНК-линкеры: L1 — 450 пн; L2 — 200 пн. Б — Распределение числа NCP на одну молекулу ДНК в модельном препарате CLP601-8. Выборка составила N = 98.

Мы получили изображения АСМ комплексов CLP601-8 с ДНКзависимыми белками PARP (**Puc. 11 A**). Определены ключевые морфометрические характеристики CLP601-8, на которые могут влиять белки PARP1, PARP2 и PARP3: площадь проекции CLP на сканируемую плоскость (S, нм²) и объем молекулы CLP (V, нм³) (**Puc. 11 Б, B**). Анализ АСМ-изображений комплексов CLP с PARP1, PARP2 и PARP3 выявил существенные различия от воздействия этих белков на морфометрические параметры комплексов: PARP1

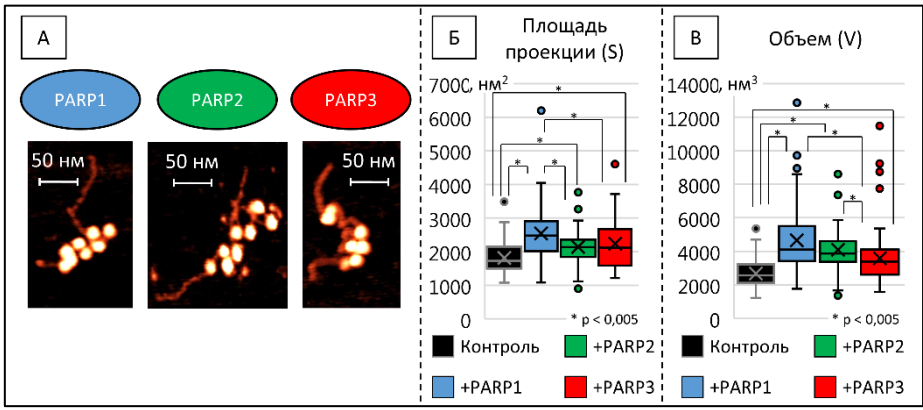


Рис. 11. А — типичные АСМ-изображения комплексов СLP с ДНК-зависимыми белками PARP (Z = 4 нм). Б — Блочная диаграмма с ограничителями выбросов площади проекции СLP и их комплексов с белками PARP1, PARP2 и PARP3. В — Блочная диаграмма с ограничителями выбросов объема по Лапласу СLP и их комплексов с белками PARP1, PARP2 и PARP3. Крестик — среднее арифметическое по выборке; линия выше или ниже крестика — медиана; нижняя и верхняя грань ящика — первый и третий квартиль значений; расстояние между границами — межквартильный размах; верхняя и нижняя граница «усов» — максимальное и минимальное значение в выборке; точки — выбросы. Тест Краскела-Уоллиса с пост-тестом Манна Уитни (поправка Бонферрони) показал статистически значимые различия между группами (отмечены *). Число проанализированных молекул в выборке для группы «Контроль» составляло N = 98, для комплексов с белками PARP — N = 100.

вызывала увеличение средней площади проекции на 40 % (с 1813 нм^2 до 2545 нм^2) и объема на 74 % (с 2670 нм^3 до 4654 нм^3); для PARP2 эти показатели возрастали на 18 % (с 1813 нм^2 до 2139 нм^2) и 53 % (с 2670 нм^3 до 4092 нм^3) соответственно; для PARP3 аналогичные показатели увеличились на 23 % (с 1813 нм^2 до 2236 нм^2) и 34 % (с 2670 нм^3 до 3591 нм^3) соответственно (**Рис. 11 Б, В**).

Анализ данных (Рис. 12) демонстрирует выраженное связывание PARP1 с CLP601-8, что согласуется с предыдущими результатами (п. 3), и результатами других научных групп, показывающими локализацию PARP1 в области сайта входа-выхода ДНК и области пары оснований диады нуклеосомы аналогично гистону H1 [Kim M.Y., et al., 2004; Wacker D.A., et al., 2007]. Также увеличение объема комплексов можно объяснить взаимодействием PARP1 с гистоновыми октамерами. Анализ комплексов PARP2 • CLP601-8 выявил увеличение объема по сравнению с занимаемой площадью (Рис. 12), что указывает на преимущественное взаимодействие PARP2 с гистоновым октамером нуклеосом. PARP2 не уплотняет структуру CLP601-8. Полученные данные впервые демонстрируют специфическую локализацию PARP2 на гистоновом октамере в составе хроматиновых комплексов, что может указывать на роль этого белка в регуляции структуры хроматина через модификацию гистонов в комплексе с белком HPF1 [Kurgina T.A., et al., 2022; Kurgina T.A., et al., 2025]. В присутствии PARP3 увеличение площади и объема комплексов (Puc. 12), вероятно, свидетельствует о способности PARP3 стабилизировать нуклеосомную организацию. Распределение комплексов по площади и объему соответствует контрольному препарату СLР601-8. Однако в присутствии PARP3 возникает популяция точек с увеличенными значениями площади и

объема, которая свидетельствует о стабилизации СLP с числом нуклеосом 8-10. Эти данные согласуются с результатами, демонстрирующими связь PARP3 с белками группы Polycomb [Rouleau M., et al. 2007]. Однако точный механизм воздействия PARP3 на CLP и структуры более высокого порядка требует дальнейшего изучения.

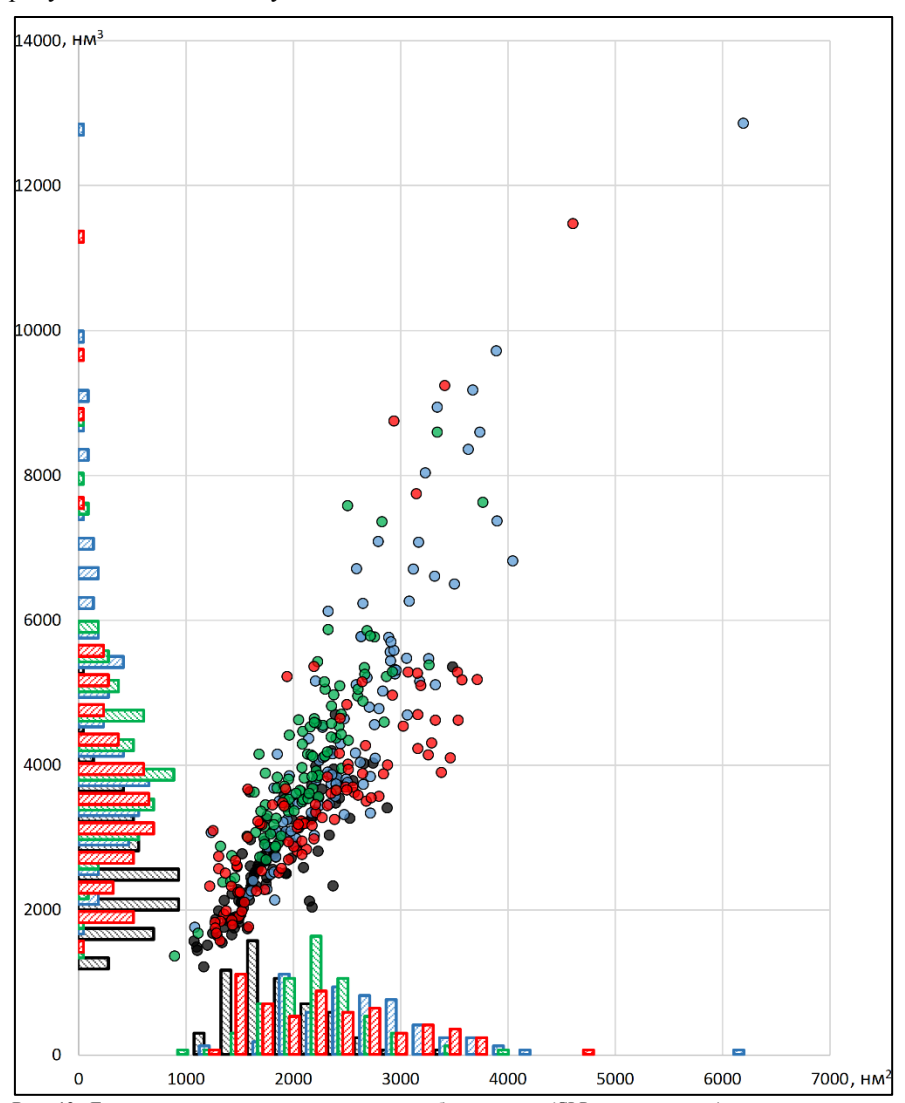


Рис. 12. Диаграмма распределения хроматиноподобных частиц (СLP, черные точки) и их комплексов с белками PARP1 (синие точки); PARP2 (зеленые точки); PARP3 (красные точки). По оси У — объем частиц (нм³); по оси Х — площадь проекции частиц (нм²). Каждая точка соответствует отдельной частице СLР или комплексу СLP+PARP. Гистограммы, расположенные на осях графика, отражают плотность точек в данной области диаграммы распределения частиц. Цвета баров соответствуют цветам точек.

Заключение

Проведенное исследование позволило охарактеризовать роль белков семейства PARP (PARP1, PARP2, PARP3) в регуляции структуры NCP и хроматиноподобных частиц, а также их участие в процессе BER в нуклеосомном контексте. Использование комплекса методов, включающих АСМ и анизотропию флуоресценции, позволило выявить принципиальные различия в механизмах взаимодействия этих белков с ДНК и гистоновым октамером в NCP, их влияние на компактизацию нуклеосом и хроматина, а также регуляторные функции в процессе BER.

РАRP1 эффективно связывается с областью входа-выхода ДНК в NCP (76,5 % молекул по данным ACM); не вызывает значительной компактизации NCP (угол раскрытия ДНК $115^{\circ}\pm4^{\circ}$ против $120^{\circ}\pm5^{\circ}$ в контрольном препарате), но стабилизирует их структуру. В полинуклеосомных конструкциях, вероятно, формирует межнуклеосомные контакты, уплотняя структуру CLP. PARP1 является ключевым инициатором репарации в нуклеосомном контексте, что подтверждает её ключевую роль в регуляции активности фермента APE1.

РАRP2 в CLP проявляет сродство к гистоновым октамерам, но при появлении одноцепочечного разрыва в молекуле ДНК локализуется в области этого повреждения. Белок PAPR2 не влияет на структурные характеристики молекул NCP, сохраняя неконденсированное состояние хроматиноподобных субстратов. PARP2 активно участвует в процессе BER после появления одноцепочечного разрыва в цепи ДНК: 1) регулирует активность Polβ; 2) является ключевым регулятором активности фермента LigIIIα.

РАRP3 индуцирует компактизацию нуклеосом: угол раскрытия ДНК в NCP составил $104^{\circ}\pm4^{\circ}$ против $120^{\circ}\pm5^{\circ}$ в контрольном препарате. Белок PARP3 стабилизирует нуклеосомную организацию и уплотняет структуру CLP. Было обнаружено, что, несмотря на взаимодействие с AP-сайтами, PARP3 проявляет низкое сродство к интермедиатам BER, а именно AP-сайтам и Gap-повреждениям. Новое свойство белка PARP3 — участвовать в компактизации структуры нуклеосом — может влиять на процессы репарации, что требует дополнительного изучения.

Семейство белков PARP представляет собой многофункциональную систему, объединяющую процессы репарации ДНК, ремоделинга хроматина и эпигенетической регуляции. Их способность адаптироваться к структурным и функциональным требованиям генома делает их ключевыми игроками в поддержании клеточного гомеостаза, а понимание механизмов их действия — важный шаг к разработке прецизионных терапевтических стратегий.

Выводы

- 1. С использованием реконструированной нуклеосомной системы показаны разные дивергентные роли поли(ADP-рибоза)полимераз 1 и 2 (PARP1 и PARP2) в регуляции активности ключевых ферментов процесса эксцизионной репарации оснований (BER). PARP1 преимущественно регулирует активность APE1, тогда как PARP2 играет ключевую роль в процессах с участием Polβ и LigIIIα. Функциональное влияние PARP1 и PARP2, а также самой реакции PARилирования на активность ключевых ферментов BER в нуклеосомной системе согласуется с ранее полученными данными об активности этих белков на модельных ДНК-дуплексах.
- 2. Показано, что фермент PARP3 способен взаимодействовать с AP-сайтами вблизи области входа-выхода в нуклеосоме (NCP).
- 3. Установлено, что PARP1, PARP2 и PARP3 преимущественно связываются вблизи ядра NCP, а не с линкерной ДНК, что указывает на их взаимодействие с гистоновым октамером и/или с ДНК в области входа-выхода. В отличие от PARP1 и PARP2, только PARP3 уплотняет и стабилизирует нуклеосому, что предполагает его роль в модуляции структуры хроматина.
- 4. Выявлено, что PARP2 и PARP3 выполняют разные функции в контексте организации хроматиноподобных частиц (CLP). PARP3 способствует поддержанию нуклеосомной организации CLP. Напротив, взаимодействие PARP2 с CLP не приводит к изменениям пространственной организации NCP в структуре CLP, что связано со взаимодействием PARP2 с гистонами.

Список публикаций по теме диссертации

- 1. Kutuzov M.M., Belousova E.A., Kurgina T.A., **Ukraintsev A.A.**, Vasil'eva I.A., Khodyreva S.N., Lavrik O.I. The contribution of PARP1, PARP2 and poly(ADPribosyl)ation to base excision repair in the nucleosomal context // Sci. Rep. 2021. V. 11. P. 4849, DOI: 10.1038/s41598-021-84351-1
- 2. **Украинцев А.А.**, Белоусова Е.А., Кутузов М.М., Лаврик О.И. Изучение взаимодействия ДНК-зависимых белков семейства PARP с нуклеосомными частицами, содержащими интермедиаты начальных стадий процесса BER // Биохимия. 2022. Т. 87(3). С. 321–336, DOI: 10.1134/S0006297922040034
- 3. **Ukraintsev A.**, Kutuzov M., Belousova E., Joyeau M., Golyshev V., Lomzov A., Lavrik O. PARP3 Affects Nucleosome Compaction Regulation // Int. J. Mol. Sci. 2023. V. 24. P. 9042, DOI: 10.3390/ijms24109042
- 4. **Украинцев А.А.**, Кутузов М.М., Лаврик О.И. Изучение структуры и функций нуклеосом методом атомно-силовой микроскопии // Биохимия. 2024. Т. 89(4). С. 635–650, DOI: 10.31857/S0320972524040078